



# Buriana b (Garf-GG)

D'Onofrio C., Fausto C., Ducci E., Matarese F., Fiorani F., Poli I., 2015. Buriana (Garf-GG), var Burian bianco In: Italian Vitis Database, www.vitisdb.it, ISSN 2282-006X

release 29/05/2015, ultimo aggiorn. 21/07/2015 url <http://vitisdb.it/accessions/show/3291>

## Informazioni gestite da

Dipartimento di Scienze Agrarie, Alimentari e Agro-ambientali (DiSAAA-a) - Università di Pisa

## Ringraziamenti

Unione Comuni di Garfagnana (Lucca)

## Informazioni generali

**nome** Buriana b (Garf-GG) **codice** ITA419-1205  
**nazione di selezione** Italia **regione di selezione** Toscana  
**provincia di selezione** Lucca **località di selezione** Garfagnana  
**istituzione custode** Dipartimento di Scienze Agrarie, Alimentari e Agro-ambientali (DiSAAA-a) - Università di Pisa  
**collezione** Garfagnana - Vivaio La Piana, Camporgiano (Lucca)

## Varietà & clone

**tipo di origine** spontanea **genere** Vitis  
**specie** Vitis vinifera **sub specie** sativa  
**varietà** Burian Bianco **codice della varietà** IVD-var\_42  
**clone** non disponibile  
**trueness to type** accertato con rilievi morfologici e microsatelliti

## Trueness to type

### True-name

confermato **si**

### ►bibliografia correlata (1)

| autori   | anno | titolo   | rivista                                     | citazione                       |
|--|------|--|---|---------------------------------|
| D'Onofrio C., Fausto C., Matarese F., Materazzi A., Scalabrelli G., Fiorani F., Poli I., | 2015 | Genotyping of Grapevine Varieties from Garfagnana (Northern Tuscany): Evidence of a Historical Centre of Diversity | American Journal of Enology and Viticulture | Am. J. Enol. Vitic. 67: 120-126 |

### Trueness to type accertato con rilievi morfologici (ampelografici)

accertamento con rilievi morfologici (ampelografici) **accertato**

### ►bibliografia correlata (1)

| autori   | anno | titolo   | rivista                                     | citazione                       |
|--|------|--|---|---------------------------------|
| D'Onofrio C., Fausto C., Matarese F., Materazzi A., Scalabrelli G., Fiorani F., Poli I., | 2015 | Genotyping of Grapevine Varieties from Garfagnana (Northern Tuscany): Evidence of a Historical Centre of Diversity | American Journal of Enology and Viticulture | Am. J. Enol. Vitic. 67: 120-126 |

### Trueness to type accertato con microsatelliti

accertamento con microsatelliti **accertato**

### ►bibliografia correlata (1)

| autori   | anno | titolo   | rivista                                     | citazione                       |
|--|------|--|---|---------------------------------|
| D'Onofrio C., Fausto C., Matarese F., Materazzi A., Scalabrelli G., Fiorani F., Poli I., | 2015 | Genotyping of Grapevine Varieties from Garfagnana (Northern Tuscany): Evidence of a Historical Centre of Diversity | American Journal of Enology and Viticulture | Am. J. Enol. Vitic. 67: 120-126 |

loci confrontati **14**

loci identici **14**

discrepanze n.d.

### Profilo microsatellite standardizzato

| loci:       | loci predefiniti ( 9 ) |     |       |     |       |     |        |     |         |     |         |     |        |     |        |     |        |     |
|-------------|------------------------|-----|-------|-----|-------|-----|--------|-----|---------|-----|---------|-----|--------|-----|--------|-----|--------|-----|
| locus SSR:  | VVS2                   |     | VVMD5 |     | VVMD7 |     | VVMD27 |     | VrZAG62 |     | VrZAG79 |     | VVMD25 |     | VVMD28 |     | VVMD32 |     |
| allele:     | A1                     | A2  | A1    | A2  | A1    | A2  | A1     | A2  | A1      | A2  | A1      | A2  | A1     | A2  | A1     | A2  | A1     | A2  |
| dimensione: | 133                    | 157 | 225   | 227 | 247   | 263 | 189    | 194 | 194     | 204 | 245     | 251 | 240    | 242 | 239    | 261 | 253    | 253 |

Vi sono altri loci consultabili online

### Immagini



germoglio



germoglio pagina superiore



germoglio pagina inferiore



foglia



foglia pagina superiore



foglia pagina inferiore



seno peziolare



grappolo






acino



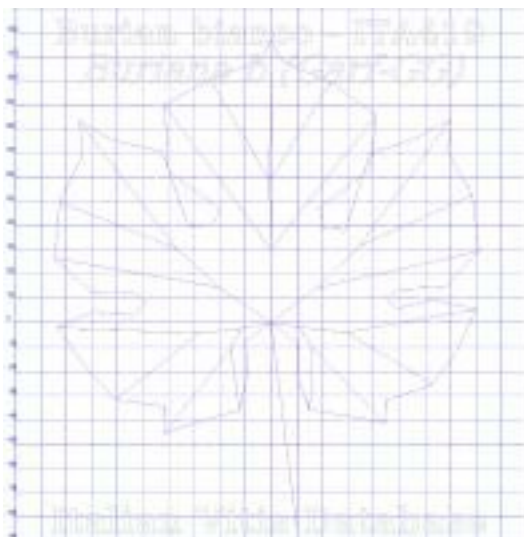
vinacciolo

### Ampelografia

| OIV | descrizione   | valore |                             | immagini |
|-----|---|--------|-----------------------------|----------|
|     |   |        |                             |          |
| 001 | Giovane germoglio: apertura dell'apice  | 5      | completamente aperto        |          |
| 003 | Giovane germoglio: intensità della pigmentazione antocianica dei peli striscianti dell'apice            | 1 / 3  | nulla o molto bassa / bassa |          |
| 004 | Giovane germoglio: densità dei peli striscianti dell'apice  | 5      | media                       |          |
| 006 | Germoglio: portamento (prima della legatura)  | 1 / 3  | eretto / semi-eretto        |          |
| 007 | Germoglio: colore del lato dorsale degli internodi  | 1 / 2  | verde / verde e rosso       |          |
| 008 | Germoglio: colore del lato ventrale degli internodi   | 1      | verde                       |          |
| 016 | Germoglio: numero di viticci consecutivi  | 1      | 2 o meno                    |          |
| 051 | Foglia giovane: colore della pagina superiore del lembo (4 a foglia)                                    | 2 / 3  | giallo / bronzato           |          |
| 053 | Foglia giovane: densità peli striscianti tra le nervature principali della pagina inferiore (4a foglia) | 5      | media                       |          |

|       |  |       |   |   |
|-------|--|-------|---|---|
| 067   | Foglia adulta: forma del lembo   | 3     | pentagonale   |    |
| 068   | Foglia adulta: numero dei lobi   | 3     | cinque  |   |
| 070   | Foglia adulta: distribuzione pigmentazione antocianica nervature principali pagina superiore             | 1 / 3 | assente / fino alla 1a biforcazione                               |   |
| 072   | Foglia adulta: depressioni del lembo   | 1     | assenti o molto deboli  |   |
| 074   | Foglia adulta: profilo del lembo in sezione trasversale  | 1     | piano   |   |
| 075   | Foglia adulta: bollosità della pagina superiore del lembo  | 3     | bassa   |   |
| 076   | Foglia adulta: forma dei denti   | 2     | entrambi i lati rettilinei  |   |
| 079   | Foglia adulta: grado di apertura / sovrapposizione dei bordi del seno peziolare                          | 3     | aperto  |   |
| 080   | Foglia adulta: forma della base del seno peziolare   | 2     | a parentesi graffa (f)  |   |
| 081-1 | Foglia adulta: denti del seno peziolare  | 1     | assenti   |   |
| 081-2 | Foglia adulta: base del seno peziolare delimitata dalla nervatura  | 1     | non delimitata  |   |
| 083-2 | Foglia adulta: denti nei seni laterali superiori   | 1     | assenti   |   |
| 084   | Foglia adulta: densità dei peli striscianti tra le nervature principali sulla pagina inferiore del lembo | 1     | nulla o molto bassa   |   |
| 087   | Foglia adulta: densità dei peli eretti sulle nervature principali della pagina inferiore del lembo       | 5     | media   |   |
| 094   | Foglia adulta: profondità dei seni laterali superiori  | 5     | medio   |   |
| 151   | Fiore: organi sessuali   | 3     | stami completamente sviluppati e gineceo completamente sviluppato |   |
| 152   | Infiorescenza: livello d'inserzione della 1 a infiorescenza  | 2     | 3° e 4° nodo  |   |
| 155   | Tralcio: fertilità delle gemme basali (gemme 1-3)  | 3 / 5 | bassa (0,7-0,9) / media (1,1-1,3)                                 |   |
| 202   | Grappolo: lunghezza (escluso il peduncolo)   | 5     | medio   |   |
| 204   | Grappolo: compattezza  | 5     | medio   |   |
| 206   | Grappolo: lunghezza del peduncolo del grappolo principale  | 3     | corto   |   |
| 208   | Grappolo: forma  | 2     | conico  |   |
| 209   | Grappolo: numero di ali del grappolo principale  | 2     | 1 - 2 ali   |   |
| 220   | Acino: lunghezza   | 3     | corto   |   |
| 221   | Acino: larghezza   | 3     | stretto   |   |
| 223   | Acino: forma   | 2     | sferoidale  |  |
| 225   | Acino: colore della buccia   | 1     | verde giallo  |   |
| 231   | Acino: intensità della pigmentazione antocianica della polpa   | 1     | nulla o molto debole  |   |
| 235   | Acino: consistenza della polpa   | 1 / 3 | molle / molto soda  |   |
| 236   | Acino: particolarità dell'aroma  | 1     | nessuna   |   |
| 241   | Acino: sviluppo dei vinaccioli   | 3     | completo  |   |

## Ampelometria



foglia ampelometrica

OIV

| OIV | PDF | descrizione  | valore |                             |
|-----|-----|--|--------|-----------------------------|
|     |     |  |        |                             |
| 601 | PDF | Foglia adulta: lunghezza della nervatura N1  | 3      | corta (105 mm)              |
| 602 | PDF | Foglia adulta: lunghezza della nervatura N2  | 5      | media (105 mm)              |
| 603 | PDF | Foglia adulta: lunghezza della nervatura N3  | 5      | media (75 mm)               |
| 604 | PDF | Foglia adulta: lunghezza della nervatura N4  | 9      | molto lunga (55 mm e oltre) |
| 605 | PDF | Foglia adulta: distanza dal seno peziolare al seno laterale superiore                              | 3      | corta (50 mm)               |
| 606 | PDF | Foglia adulta: distanza dal seno peziolare al seno laterale inferiore                              | 3      | corta (45 mm)               |
| 607 | PDF | Foglia adulta: angolo tra N1 e N2 misurato alla prima biforcazione                                 | 5      | medio (46°-55°)             |
| 608 | PDF | Foglia adulta: angolo tra N2 e N3 misurato alla prima biforcazione                                 | 5      | medio (46°-55°)             |
| 609 | PDF | Foglia adulta: angolo tra N3 e N4 misurato alla prima biforcazione                                 | 7      | grande (56°-70°)            |
| 610 | PDF | Foglia adulta: angolo tra N3 e la tangente tra il punto peziolare e l'estremità N5                 | 7      | grande (56°-70°)            |
| 612 | PDF | Foglia adulta: lunghezza del dente di N2   | 5      | medio (14 mm)               |
| 613 | PDF | Foglia adulta: larghezza del dente di N2   | 5      | medio (14 mm)               |
| 614 | PDF | Foglia adulta: lunghezza del dente di N4   | 3      | corto (10 mm)               |
| 615 | PDF | Foglia adulta: larghezza del dente di N4   | 5      | medio (14 mm)               |
| 617 | PDF | Foglia adulta: distanza tra l'estremità di N2 e l'estremità della prima nervatura secondaria di N2 | 5      | media (46-55 mm)            |

## Superampelo

| distanze  |         |                     |
|---|---------|---------------------|
| descrittore   | valore  | deviazione standard |
| Distanza dal seno peziolare al seno inferiore sinistro                              | 49.800  | 10.700              |
| Distanza dal seno peziolare al seno superiore sinistro                              | 46.300  | 11.000              |
| Distanza dal seno peziolare al seno inferiore destro                                | 46.400  | 8.900               |
| Nervatura N3', lunghezza dal seno peziolare alla nervatura N4'                      | 11.800  | 3.100               |
| Distanza dal seno peziolare al seno superiore destro                                | 44.200  | 8.400               |
| Lunghezza della nervatura N5'   | 25.900  | 6.000               |
| Nervatura N3, lunghezza dal seno peziolare alla nervatura N4                        | 11.500  | 2.000               |
| Lunghezza della nervatura N4'   | 53.300  | 7.000               |
| Lunghezza della nervatura N5  | 26.900  | 3.700               |
| Distanza tra punto peziolare ed estremità della nervatura N4'                       | 62.200  | 6.400               |
| Lunghezza della nervatura N4  | 52.300  | 5.800               |
| Lunghezza della foglia  | 164.000 | 11.400              |
| Distanza tra punto peziolare ed estremità della nervatura N4                        | 61.500  | 6.100               |
| Lunghezza della foglia compreso il picciolo   | 204.500 | 14.500              |
| Larghezza della foglia  | 164.400 | 11.000              |
| Lunghezza della nervatura N1  | 116.800 | 6.500               |
| Lunghezza del picciolo  | 87.800  | 9.500               |
| Distanza tra gli estremi delle nervature N3 e N3'                                   | 164.200 | 10.900              |
| Distanza tra gli estremi delle nervature N2 e N2'                                   | 145.200 | 13.100              |
| Larghezza del seno peziolare / Distanza tra i punti SP e SP'                        | -19.800 | 8.300               |
| Distanza tra gli estremi delle nervature N4 e N4'                                   | 86.700  | 8.500               |
| Lunghezza della nervatura N2'   | 112.300 | 7.300               |
| Lunghezza della nervatura N2  | 110.000 | 9.700               |
| Lunghezza della nervatura N3'   | 83.900  | 6.400               |
| Lunghezza della nervatura N3  | 81.000  | 5.300               |
| Distanza tra estremità di N2' e estremità della prima ramificazione laterale di N2' | 54.200  | 8.200               |
| Distanza tra estremità di N2 e estremità della prima ramificazione laterale di N2   | 49.500  | 9.400               |

| angoli  |         |                     |
|---|---------|---------------------|
| descrittore   | valore  | deviazione standard |
| Angolo tra N1 e N2' misurato alla prima biforcazione                  | 54.000  | 2.700               |
| Angolo tra N1 e N2 misurato alla prima biforcazione                   | 50.900  | 4.700               |
| Angolo tra N2' e N3' misurato alla prima biforcazione                 | 47.200  | 4.300               |
| Angolo tra N2 e N3 misurato alla prima biforcazione                   | 48.700  | 7.400               |
| Angolo tra N3' e N4'  | 58.300  | 8.400               |
| Angolo tra N3 e N4 alla prima biforcazione di N3                      | 54.600  | 8.600               |
| Angolo tra N1 e N2' misurato agli estremi delle nervature             | 41.900  | 4.500               |
| Angolo tra N1 e N2 misurato agli estremi delle nervature              | 39.800  | 5.300               |
| Angolo tra N2' e N3' misurato agli estremi delle nervature            | 49.600  | 3.900               |
| Angolo tra N2 e N3 misurato agli estremi delle nervature              | 46.100  | 7.400               |
| Angolo tra N3' e N4' misurato agli estremi delle nervature            | 46.200  | 4.000               |
| Angolo tra N3 e N4 misurato agli estremi delle nervature              | 46.700  | 6.200               |
| Angolo tra D e D' con centro in N1                                    | 110.200 | 6.100               |
| Angolo di apertura del seno peziolare misurato a SP e SP'             | 49.600  | 23.900              |
| Angolo tra I e I' con centro in N1                                    | 47.000  | 8.100               |
| Angolo tra S e S' con centro in N1                                    | 32.600  | 10.900              |
| Angolo tra N3' e la tangente tra il punto peziolare e l'estremità N5' | 69.000  | 7.800               |
| Angolo tra N3 e la tangente tra il punto peziolare e l'estremità N5   | 71.000  | 9.000               |

| rapporti   |           |                     |
|--|-----------|---------------------|
| descrittore  | valore    | deviazione standard |
| Rapporto tra la somma degli angoli a + b e la somma della distanza tra il seno peziolare e il seno superiore destro OS e il seno peziolare e il seno inferiore destro OI         | 0.020     | 0.003               |
| Rapporto tra la somma degli angoli a' + b' e la somma della distanza tra il seno peziolare e il seno superiore sinistro OS' e il seno peziolare e il seno inferiore sinistro OI' | 0.019     | 0.003               |
| Rapporto tra la lunghezza della nervatura N5 e la lunghezza della nervatura N1   | 0.231     | 0.027               |
| Rapporto tra la lunghezza della nervatura N5' e la lunghezza della nervatura N1  | 0.222     | 0.046               |
| Rapporto tra la lunghezza della nervatura N4 e la lunghezza della nervatura N1   | 0.448     | 0.043               |
| Rapporto tra la lunghezza della nervatura N4' e la lunghezza della nervatura N1  | 0.457     | 0.060               |
| Rapporto tra la lunghezza della nervatura N3 e la lunghezza della nervatura N1   | 0.695     | 0.045               |
| Rapporto tra la lunghezza della nervatura N3' e la lunghezza della nervatura N1  | 0.044     | 0.000               |
| Rapporto tra la lunghezza della nervatura N2 e la lunghezza della nervatura N1   | 0.942     | 0.060               |
| Rapporto tra la lunghezza della nervatura N2' e la lunghezza della nervatura N1  | 0.962     | 0.047               |
| Rapporto tra la distanza dal seno peziolare al seno inferiore destro OI e la lunghezza della nervatura N3  | 0.574     | 0.114               |
| Rapporto tra la distanza dal seno peziolare al seno inferiore sinistro OI' e la lunghezza della nervatura N3'  | 0.596     | 0.126               |
| Rapporto tra la distanza dal seno peziolare la lunghezza della nervatura N2'   | 0.412     | 0.089               |
| Rapporto tra Lunghezza e larghezza della foglia  | 0.999     | 0.047               |
| Prodotto di Lunghezza e larghezza della foglia   | 27045.721 | 3531.200            |
| Rapporto tra la distanza dal seno la lunghezza della nervatura N2  | 0.404     | 0.083               |
| Rapporto tra la lunghezza del picciolo OP e la lunghezza della nervatura N1  | 0.751     | 0.062               |
| Media dell'altezza dei denti del lato sinistro   | 7.514     | 0.000               |
| Media della base dei denti del lato sinistro   | 7.476     | 0.000               |
| Media dell'altezza dei denti del lato destro   | 8.122     | 0.000               |
| Media della base dei denti del lato destro   | 10.497    | 0.000               |
| Rapporto tra l'altezza e la base del dente all'estremità della nervatura N4  | 0.580     | 0.121               |
| Rapporto tra l'altezza e la base del dente all'estremità della nervatura N4'   | 0.674     | 0.079               |
| Rapporto tra l'altezza e la base del dente all'estremità della nervatura N2  | 0.978     | 0.148               |
| Rapporto tra l'altezza e la base del dente all'estremità della nervatura N2'   | 0.989     | 0.151               |
| Rapporto tra l'altezza e la base dei denti del lato destro   | 0.774     | 0.000               |
| Rapporto tra l'altezza e la base dei denti del lato sinistro   | 1.005     | 0.000               |